

# ВРЕМЯ ДОСТИЖЕНИЯ МОЛЕКУЛЯРНОЙ РЕМИССИИ КАК ФАКТОР ПРОГНОЗА У ДЕТЕЙ ПЕРВОГО ГОДА ЖИЗНИ С ОСТРЫМ ЛИМФОБЛАСТНЫМ ЛЕЙКОЗОМ

Г.А. Цаур<sup>1,2</sup>, Т.В. Наседкина<sup>3</sup>, А.М. Попов<sup>1,2,4</sup>, О.В. Каленник<sup>3</sup>,  
А.Г. Солововников<sup>4</sup>, Т.О. Ригер<sup>1,2</sup>, Ю.А. Яковлева<sup>1,2,4</sup>, А.С. Иванова<sup>1,2,4</sup>,  
А.Е. Друй<sup>1,4</sup>, О.М. Плеханова<sup>1</sup>, Е.В. Шориков<sup>1,2</sup>, Л.И. Савельев<sup>1,2,4</sup>, Л.Г. Фечина<sup>1,2</sup>

<sup>1</sup>ГУЗ Областная детская клиническая больница №1, Екатеринбург; <sup>2</sup>ГУЗ Институт медицинских клеточных технологий, Екатеринбург; <sup>3</sup> Институт молекулярной биологии им. В.А. Энгельгардта РАН, Москва;

<sup>4</sup>ГОУ ВПО Уральская государственная медицинская академия, Екатеринбург

**Контакты:** Григорий Анатольевич Цаур [tsaur@mail.ru](mailto:tsaur@mail.ru)

*Ответ на терапию является одним из важнейших прогностических факторов, влияющих на исход острого лимфобластного лейкоза (ОЛЛ). Цель данной работы — оценка времени достижения молекулярной ремиссии у детей первого года жизни с ОЛЛ и перестройками гена MLL, получавших терапию по протоколу MLL-Baby. Под молекулярной ремиссией понимали отсутствие химерного транскрипта в ходе гнездной полимеразной цепной реакции (ПЦР) с чувствительностью не менее  $1 \times 10^{-4}$ , подтвержденное негативным результатом в следующей точке наблюдения (TH). Определение химерного транскрипта проводилось на 15, 36, 43-й дни терапии (TH1—TH3), а также во время консолидации/интенсификации (TH4—TH9). Ретроспективно все пациенты были разделены на 2 группы. В 1-ю группу — с быстрым достижением молекулярной ремиссии — вошло 14 пациентов, которые достигли молекулярной ремиссии к TH4. В данной группе произошло 2 рецидива. Во 2-ю группу отнесены 4 пациента, не достигшие молекулярной ремиссии к TH4. Среди пациентов 2-й группы было зафиксировано 3 рецидива, что достоверно выше, чем в 1-й (отношение шансов 18,0; 95% ДИ: 1,19—271,47; p=0,044). Шестилетняя бессобытийная выживаемость в 1-й группе достигла  $0,84 \pm 0,10$ , во 2-й —  $0,25 \pm 0,21$  (p=0,023). Кумулятивная вероятность развития рецидива составила в 1-й группе  $0,15 \pm 0,01$ , во 2-й —  $0,75 \pm 0,08$  (p=0,022). Время достижения молекулярной ремиссии не было связано с инициальными факторами риска, а также ответом на терапию на 8, 15, 36-й дни. Показано, что отсутствие быстрого достижения молекулярной ремиссии, т. е. обнаружение химерного транскрипта в TH4, связано с высокой вероятностью развития рецидива.*

**Ключевые слова:** острый лимфобластный лейкоз, дети первого года жизни, минимальная остаточная болезнь, ответ на терапию, перестройки гена MLL, полимеразная цепная реакция

## Prediction of outcome in infants acute lymphoblastic leukemia by time to achievement of molecular remission

**G.A. Tsaur<sup>1,2</sup>, T.V. Nasedkina<sup>3</sup>, A.M. Popov<sup>1,2,4</sup>, O.V. Kalennik<sup>3</sup>, A.G. Solodovnikov<sup>4</sup>, T.O. Riger<sup>1,2</sup>, Yu.A. Yakovleva<sup>1,2,4</sup>, A.S. Ivanova<sup>1,2,4</sup>,  
A.E. Druy<sup>1,4</sup>, O.M. Plekhanova<sup>1</sup>, E.V. Shorikov<sup>1,2</sup>, L.I. Saveliev<sup>1,2,4</sup>, L.G. Fechina<sup>1,2</sup>;**

**<sup>1</sup>Regional Children's Hospital N1, Yekaterinburg; <sup>2</sup>Research Institute of Medical Cell Technologies, Yekaterinburg;**

**<sup>3</sup>Engelgardt Institute of Molecular Biology, Russian Academy of Science, Moscow; <sup>4</sup>Ural State Medical Academy, Yekaterinburg**

*Early therapy response is one of the major prognostic factors influencing an outcome of acute lymphoblastic leukemia (ALL). The purpose of the given work was to define a time point (TP) of fusion gene transcript (FGt) monitoring by reverse-transcriptase PCR that clearly predicts outcome in infants with MLL-rearranged ALL, enrolled onto MLL-Baby protocol. Molecular remission (cMR) was defined as absence of FGt at nested RT-PCR with sensitivity  $1 \times 10^{-4}$  or higher confirmed with negative result in the following time point (TP). Detection of FGt in bone marrow (BM) was performed by qualitative nested RT-PCR on 15<sup>th</sup>, 36<sup>th</sup> and 43<sup>th</sup> days of therapy (TP1-TP3) and also during consolidation/intensification (TP4-TP9).*

*Retrospectively, patients were divided into two groups. First group included 14 patients who achieved cMR by TP4, where two relapses occurred. The second group consisted of four MLL-AF4-positive patients, who did not achieve cMR by TP4. In this group there were 3 relapses. Number of relapses was significantly higher in the second group (odds ratio 18.00; 95% CI: 1.19-271.47; p=0.044). 6-years event-free survival (EFS) in the first group was  $0.84 \pm 0.10$ , in the second group —  $0.25 \pm 0.21$  (p=0.023). Cumulative incidence of relapse in the first group was  $0.15 \pm 0.01$ , in the second group  $0.75 \pm 0.08$  (p=0.022). Time of cMR achievement did not correlate with any known prognostic factors including therapy response on day 8, 15 and 36.*

*Slow achievement of cMR corresponds to poor outcome in infant ALL with MLL rearrangements. Persistence of FGt at TP4 allows defining patients with high risk of relapse.*

**Key words:** acute lymphoblastic leukemia, infants, minimal residual disease, treatment response, MLL rearrangements, polymerase chain reaction

## Введение

За последние 30 лет достигнуты значительные успехи в лечении острого лимфобластного лейкоза (ОЛЛ) у детей. Бессобытийная выживаемость (БСВ) пациентов возросла до 79–86% [1–3]. В то же время эффективность терапии некоторых вариантов ОЛЛ заметно ниже. К этой категории можно отнести ОЛЛ у детей первого года жизни. Пятилетняя БСВ в данной группе пациентов не превышает 47–54% [4, 5]. Установлено, что ОЛЛ у детей первого года жизни характеризуется рядом биологических особенностей, в частности, высоким инициальным лейкоцитозом, большой экстрамедуллярной массой опухоли, преобладанием pro-B-иммunoфенотипа (BI-ALL) с коэкспрессией миелоидных и нейральных маркеров (CD15, CD65, NG2), частым наличием перестроек гена *MLL*.

В Российской Федерации и Республике Беларусь для лечения детей первого года жизни с ОЛЛ применяется отечественный протокол MLL-Baby [6, 7], в основе которого лежит использование наряду с программной химиотерапией полностью трансвертиноевой кислоты (ATRA) в качестве дифференцировочного агента. Важная особенность протокола заключается в отслеживании эффективности терапии путем оценки минимальной остаточной болезни (МОБ). Перестройки гена *MLL* у детей первого года жизни представляют собой удобную мишень для мониторинга МОБ методом полимеразной цеп-

ной реакции (ПЦР), так как встречаются у 70% пациентов [5]. Одним из методов мониторирования перестроек гена *MLL* является гнездная обратно-транскриптазная ПЦР (ОТ-ПЦР). Достижение молекулярной ремиссии — один из наиболее важных шагов на пути полного излечения от ОЛЛ. В используемой нами литературе не встретилось оценки прогностического значения достижения молекулярной ремиссии у пациентов с перестройками гена *MLL*, что и стало предметом данной работы.

## Материалы и методы

Критерии включения в данное исследование:

1. Верифицированный диагноз ОЛЛ у пациентов в возрасте до 365 дней, леченных по протоколу MLL-Baby (рис. 1).

2. Длительность наблюдения за пациентом не менее 12 мес, что позволяет отследить развитие очень ранних рецидивов, которые до начала использования протокола MLL-Baby являлись одной из основных причин неудач терапии [7].

3. Наличие перестроек гена *MLL*.

4. Не менее 4 точек наблюдения (TH), в которых было проведено молекулярно-генетическое исследование костного мозга методом ОТ-ПЦР. Таким образом, за период с сентября 2003 г. по июнь 2008 г. в исследование было включено 18 детей первого года жизни с ОЛЛ и перестройками гена *MLL*, в том числе 7 (39%) мальчиков и 11 (61%) девочек; медиана возраста составила

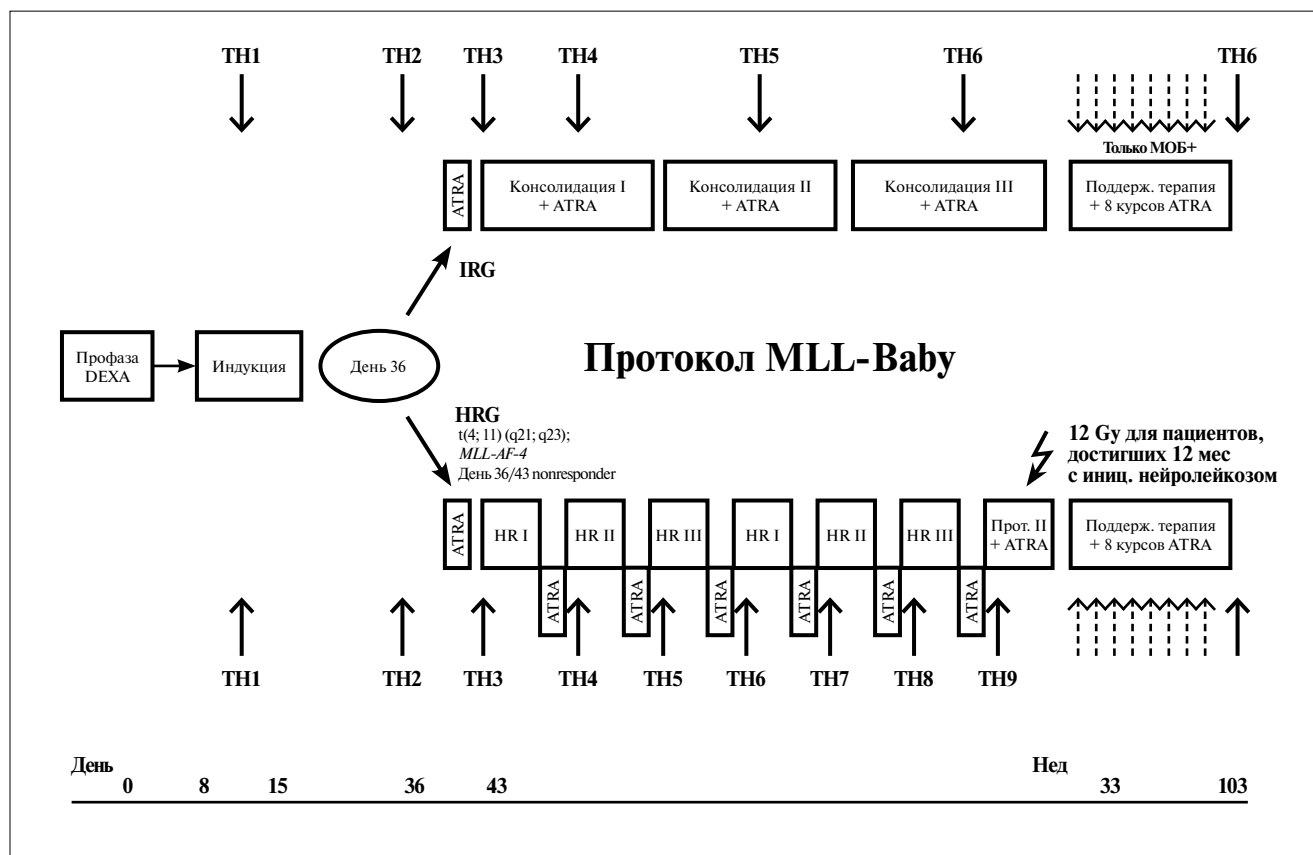


Рис. 1. Схема протокола MLL-Baby с указанием точек наблюдения (TH), в которых производилась оценка наличия химерного транскрипта

7 мес (1 день—11 мес). Лейкоцитоз более  $100 \times 10^9/\text{л}$  в момент постановки диагноза имели 8 (44%) пациентов. Инициальное поражение центральной нервной системы (ЦНС) было выявлено у 3 (17%) больных. Иммунофенотип опухолевых клеток, а также выявленные перестройки гена *MLL* приведены в табл. 1. Цитогенетическое исследование костного мозга выполняли после краткосрочного культивирования (24—48 ч) с последующей дифференциальной окраской. Кариотипирование проводили в соответствии с номенклатурой ISCN [8]. У 6 пациентов проведено дополнительное исследование методом флуоресцентной гибридизации *in situ* с локус-специфическим зондом LSI *MLL* Dual Color Rearrangement Probe 11q23 («Abbott», США) согласно инструкции производителя.

У 10 пациентов выявление перестроек гена *MLL* и последующий мониторинг уровня химерного транскрипта (ХТр) проводили методом гнездной ОТ-ПЦР по ранее описанным протоколам [9–11] с рядом модификаций. Лейкоциты и бластные клетки выделяли из костного мозга путем лизиса в  $0,84\%$  растворе хлорида аммония, после чего подсчитывали ядросодержащие клетки на гематологическом анализаторе KX-21 («Sysmex», Япония). В работу брали  $5 \times 10^6$  ядерных клеток. Для выделения РНК использовали TRIreagent («Molecular Research Center», США) в объеме 1 мл. Полученную РНК обрабатывали ДНКазой I («Fermentas», Латвия) согласно инструкции производителя, после чего 1 мкг переводили в комплементарную ДНК (кДНК) в ходе реакции обратной транскрипции, которая проходила при  $37^\circ\text{C}$  в течение 60 мин с использованием MML-V обратной транскриптазы («Promega», Германия) и смеси случайных номеров («Синтол», Россия). В ПЦР брали кДНК в количестве, эквивалентном 100 нг РНК. Для проведения ПЦР использовали ДиаТак-полимеразу (ЦНИИ эпидемиологии, Россия) и амплифи-

тор «GeneAmp PCR system 9700 Gold» («Applied Biosystems», США). Детекцию проводили методом горизонтального электрофореза в 2% агарозном геле. Верификацию выявленных продуктов амплификации осуществляли при помощи прямого секвенирования на генетическом анализаторе «ABI 3130» («Applied Biosystems», США) с использованием «BigDye Terminator 3.1» («Applied Biosystems», США). Чувствительность ОТ-ПЦР, которую оценивали методом лимитирующих разведений клеточной культуры RS411, составила  $5 \times 10^{-5}$ .

У 8 пациентов перестройки гена *MLL* выявлялись и мониторировались при помощи наборов «ЛК-Биочип» («Биочип-ИМБ», Москва) согласно инструкции производителя. При этом РНК выделяли из лейкоцитов костного мозга больных лейкозом с помощью набора RNeasy Mini Kit («Qiagen», США). Выделенную РНК в количестве 2 мкг инкубировали при  $70^\circ\text{C}$  в течение 5 мин со смесью кДНК-праймеров, специфических для указанных транслокаций и для контрольного гена *ABL*. Затем проводили обратную транскрипцию при  $37^\circ\text{C}$  в течение 90 мин с использованием MML-V обратной транскриптазы («Силекс», Россия). Далее полученную кДНК использовали в мультиплексных ПЦР в 2 этапа. В 25 мкл ПЦР-смеси 1-го этапа вносили 1 мкл образца, полученного в реакции обратной транскрипции. Использовали фермент Тақ-полимеразу («Силекс», Россия). В ПЦР-смесь стандартного состава («Силекс», Россия) добавляли праймеры, специфические для анализируемых ХТр и для контрольного гена *ABL* по 20 пмоль каждого. Всю смесь нагревали при  $94^\circ\text{C}$  в течение 3 мин, затем проводили 25 циклов амплификации по следующей схеме:  $94^\circ\text{C}$ , 30 с;  $60^\circ\text{C}$ , 30 с;  $72^\circ\text{C}$ , 1 мин. В 25 мкл ПЦР-смеси 2-го этапа вносили 2 мкл продукта первого раунда ПЦР. Состав ПЦР-смеси и условия ПЦР были те же, с той разницей, что на 2-м этапе один из праймеров в каждой паре

**Таблица 1.** Выявленные перестройки гена *MLL* и иммунофенотип пациентов, включенных в исследование

Химерный ген	Иммунофенотип				Всего*
	CD10(−)cytμ(−)	CD10(−/+cytμ(−)	CD10(−)cytμ(+)	AUL*	
<i>MLL-AF4</i>	8	2	1	—	11
<i>MLL-MLLT1</i>	1	—	—	—	1
<i>MLL-MLLT3</i>	—	—	—	1	1
<i>MLL-MLLT10</i>	1	—	2	—	3
<i>MLL-EPS15</i>	2	—	—	—	2
Всего...	12	2	3	1	18

\*AUL — острый недифференцированный лейкоз

содержал флуоресцентную метку и концентрация немеченого праймера была в 5 раз ниже, чем меченого. Полученные на 2-й стадии мультиплексной ПЦР флуоресцентно меченные образцы использовали для гибридизации на биочипе. Гибридизационная смесь общим объемом до 40 мкл состояла из 20% формамида («Serva», США), 5-кратного буфера SSPE (Saline-sodium-phosphate-EDTA) («Promega», США) и амплификата общим объемом 22 мкл. Гибридизационную смесь денатурировали при 95°C (5 мин), быстро охлаждали на льду (1 мин), наносили на биочип и оставляли на ночь при 37°C. Далее биочип отмывали в однократном SSPE буфере в течение 10 мин при комнатной температуре и высушивали. Флуоресцентный сигнал регистрировали с помощью портативного анализатора биочипов («Биочип-ИМБ», Москва). Автоматический анализ изображения проводили с помощью программы ImageWare («Биочип-ИМБ», Москва). Чувствительность набора «ЛК-Биочип» для выявления перестроек гена *MLL* составила  $1 \times 10^{-4}$ .

Метод количественной ПЦР в реальном времени (ПЦР-РВ) с чувствительностью  $1 \times 10^{-4}$  использовали согласно рекомендациям международной программы «Европа против рака» [12, 13].

Наличие ХТр оценивали в следующих ТН: ТН1—ТН2 — 15-й и 36-й дни индукционной терапии, ТН3—ТН9 — после каждого курса полностью трансретиноевой кислоты (рис. 1). Пациенты с инициальным наличием химерного гена *MLL-AF4* получали терапию по ветви протокола для высокого риска, все остальные (при условии достижения клинико-гематологической ремиссии к 36-му дню) — по ветви промежуточного риска. Достижение молекулярной ремиссии расценивалось как отсутствие химерного транскрипта в ходе ПЦР с чувствительностью не ниже  $1 \times 10^{-4}$ , подтвержденное негативным результатом в следующей ТН [14].

Результаты терапии оценивали по количеству рецидивов и числу больных, находящихся в полной продолжительной ремиссии (ППР), а также по кривым БСВ, построенным по методу Каплана—Майера [15]. Для сравнения кривых выживаемости использовали непараметрический Log-rank-критерий. При сравнении групп пациентов по качественным признакам применяли точный критерий Фишера, при сравнении по порядковому признаку — критерий Манна—Уитни. Различия считались достоверными при  $p < 0,05$ . Анализ результатов проводился с помощью программ для статистической обработки данных STATISTICA for Windows 6.0 и R-statistic. Отношение шансов рассчитано с использованием пакета программ SPSS 16.0.

### Результаты

В ТН1 у всех 18 пациентов было выявлено наличие ХТр. В исследованной группе не было пациентов, не ответивших на терапию к 36-му дню

(ТН2): по данным световой микроскопии все они находились в ремиссии, но только у 3 из них зафиксирована молекулярная ремиссия в этой ТН. Это были 2 пациента с наличием *MLL-MLLT10* и 1 пациент с *MLL-AF4*. В ТН3 — после первого курса полностью трансретиноевой кислоты — ХТр не был выявлен еще у 4 больных: у 2 пациентов, имевших *MLL-AF4*, и у 2 пациентов с наличием химерных генов *MLL-MLLT1*, *MLL-MLLT10* соответственно. В ТН4 еще 7 пациентов достигли молекулярной ремиссии. Четверо из них первоначально имели *MLL-AF4*, двое — *MLL-EPS15*, 1 пациент — *MLL-MLLT3*. У 2 пациентов с наличием *MLL-AF4* молекулярная ремиссия зафиксирована в ТН9 (после 6-го блока высокого риска). В то же время у 3 пациентов молекулярной ремиссии достичь не удалось.

Ретроспективно пациенты были разделены на 2 группы по времени достижения молекулярной ремиссии. В 1-ю группу (с быстрым достижением молекулярной ремиссии) вошло 14 больных, у которых элиминация ХТр произошла до наступления ТН4. Ко 2-й группе (с отсутствием быстрого достижения молекулярной ремиссии) было отнесено 4 пациента, у которых элиминация ХТр произошла позже, чем ТН4, или не произошла совсем (рис. 2). Группы были сопоставимы между собой по демографическим характеристикам и инициальным факторам риска ОЛЛ, таким как уровень лейкоцитоза, наличие нейролейкемии, иммунофенотип, наличие *MLL-AF4*. Так же не было выявлено достоверных различий между 2 группами по ответу на терапию на 8-й и 15-й дни индукционной терапии, достижению клинико-гематологической ремиссии на 36-й день (табл. 2). В группе с быстрым достижением молекулярной ремиссии 12 из 14 пациентов продолжают находиться в ППР, у 2 развился костномозговой рецидив. В первом случае рецидив зафиксирован у пациента с наличием ХТр *MLL-AF4* в ТН8 после блока HR 2 (V), а во втором — у пациента с *MLL-EPS15* на поддерживающей терапии. Во 2-й группе, состоящей из 4 пациентов, все из которых имели ХТр *MLL-AF4*, выявлено 3 костномозговых рецидива, что статистически достоверно выше, чем в 1-й группе. Отношение шансов составило 18,0 (95% ДИ: 1,19–271,47;  $p=0,044$ ). Только 1 пациент из группы с медленным достижением молекулярной ремиссии продолжает находиться в ППР в течение 47 мес. В отличие от других пациентов этой группы у него при мониторинге МОБ методом количественной ПЦР-РВ было выявлено постоянное снижение уровня ХТр (рис. 3). Шестилетняя БСВ в группе с быстрым достижением молекулярной ремиссии составила  $0,84 \pm 0,10$ , в группе с отсутствием быстрого достижения молекулярной ремиссии —  $0,25 \pm 0,21$  ( $p=0,023$ ) (рис. 4). Кумулятивная вероятность развития рецидива в 1-й группе —  $0,15 \pm 0,01$ ,

**Быстрое достижение молекулярной ремисии**Девочка, 2 мес, *MLL-AF4+*, пациентка жива, в ППР 73 мес

TH1	TH2	TH3	TH4	TH5	TH6	TH7	TH8	TH9
-----	-----	-----	-----	-----	-----	-----	-----	-----

Девочка, 7 мес, *MLL-MLLT1+*, пациентка жива, в ППР 53 мес

TH1	TH2	TH3	TH4	TH5	TH6
-----	-----	-----	-----	-----	-----

Девочка, 10 мес, *MLL-AF4+*, пациентка жива, в ППР 49 мес

TH1	TH2	TH3	TH4	TH5	TH6	TH7	TH8	TH9
-----	-----	-----	-----	-----	-----	-----	-----	-----

Девочка, 8 мес, *MLL-MLLT10+*, пациентка жива, в ППР 42 мес

TH1	TH2	TH3	TH4	TH5	TH6
-----	-----	-----	-----	-----	-----

Мальчик, 8 мес, *MLL-AF4+*, пациент жив, в ППР 41 мес

TH1	TH2	TH3	TH4	TH5	TH6	TH7	TH8	TH9
-----	-----	-----	-----	-----	-----	-----	-----	-----

Девочка, 7 мес, *MLL-AF4+*, пациентка жива, в ППР 35 мес

TH1	TH2	TH3	TH4	TH5	TH6	TH7	TH8	TH9
-----	-----	-----	-----	-----	-----	-----	-----	-----

Мальчик, 4 мес, *MLL-AF4+*, пациент жив, в ППР 32 мес

TH1	TH2	TH3	TH4	TH5	TH6	TH7	TH8	TH9
-----	-----	-----	-----	-----	-----	-----	-----	-----

Мальчик, 6 мес, *MLL-MLLT10+*, пациент жив, в ППР 31 мес

TH1	TH2	TH3	TH4	TH5	TH6
-----	-----	-----	-----	-----	-----

Мальчик, 8 мес, *MLL-AF4+*, пациент жив, в ППР 30 мес

TH1	TH2	TH3	TH4	TH5	TH6	TH7	TH8	TH9
-----	-----	-----	-----	-----	-----	-----	-----	-----

Девочка, 9 мес, *MLL-MLLT10+*, пациентка жива, в ППР 27 мес

TH1	TH2	TH3	TH4	TH5	TH6
-----	-----	-----	-----	-----	-----

Мальчик, 9 мес, *MLL-MLLT10+*, пациент жив, в ППР 14 мес

TH1	TH2	TH3	TH4	TH5	TH6
-----	-----	-----	-----	-----	-----

Девочка, 9 мес, *MLL-MLLT1+*, пациентка жива, в ППР 12 мес

TH1	TH2	TH3	TH4	TH5	TH6
-----	-----	-----	-----	-----	-----

Девочка, 2 мес, *MLL-AF4+*; КМ рецидив в ТН8 — после блока HR 2(V), ТГСК, смерть в стадии ремиссии

TH1	TH2	TH3	TH4	TH5	TH6	TH7	КМ рецидив
-----	-----	-----	-----	-----	-----	-----	------------

Мальчик, 1 день, *MLL-EPS15+*; КМ рецидив на фоне поддерживающей терапии, смерть от рецидива

TH1	TH2	TH3	TH4	TH5	TH6	КМ рецидив
-----	-----	-----	-----	-----	-----	------------

**Отсутствие быстрого достижения молекулярной ремисии**Мальчик, 6 мес, *MLL-AF4+*, пациент жив, в ППР 47 мес

TH1	TH2	TH3	TH4	TH5	TH6	TH7	TH8	TH9
-----	-----	-----	-----	-----	-----	-----	-----	-----

Девочка, 2 мес, *MLL-AF4+*; КМ рецидив на протоколе II, смерть от рецидива

TH1	TH2	TH3	TH4	TH5	TH6	TH7	TH8	TH9	КМ рецидив
-----	-----	-----	-----	-----	-----	-----	-----	-----	------------

Девочка, 20 дней, *MLL-AF4+*; КМ рецидив на фоне поддерживающей терапии, смерть от рецидива

TH1	TH2	TH3	TH4	TH5	TH6	TH7	TH8	TH9	КМ рецидив
-----	-----	-----	-----	-----	-----	-----	-----	-----	------------

Девочка, 6 мес, *MLL-AF4+*; КМ рецидив в ТН8 — после блока HR 2(V), смерть от рецидива

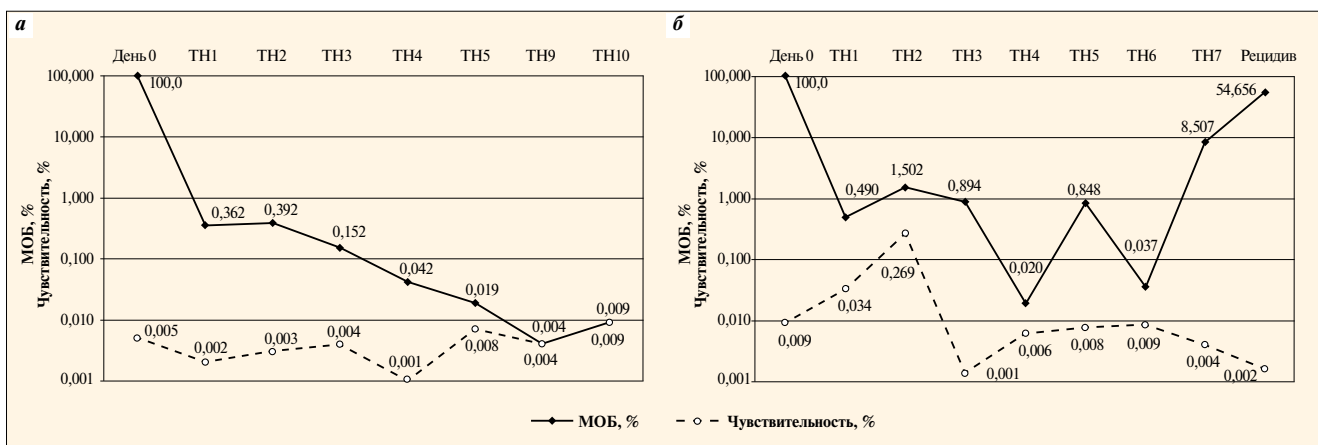
TH1	TH2	TH3	TH4	TH5	TH6	TH7	TH8	КМ рецидив
-----	-----	-----	-----	-----	-----	-----	-----	------------

Рис. 2. Выявление химерного транскрипта (*XTr*) методом ОТ-ПЦР у пациентов, включенных в исследование.Черным выделены точки наблюдения (TH), в которых *XTr* был обнаружен, белым — TH, когда *XTr* не определялся.

ТГСК — трансплантация гемопоэтических стволовых клеток; КМ — костный мозг

Таблица 2. Характеристика пациентов в зависимости от времени достижения молекулярной ремиссии

Показатель	Быстрое достижение молекулярной ремиссии	Отсутствие быстрого достижения молекулярной ремиссии	p
Число пациентов	14	4	
Пол			
мужской	6	1	
женский	8	3	0,485
Возраст, мес			
0–6	3	1	
6–12	11	3	0,083
Инициальный лейкоцитоз, $\times 10^9/\text{л}$			
<100	8	2	
$\geq 100$	6	2	0,618
Инициальное поражение ЦНС			
есть	2	1	
нет	12	3	0,554
Иммунофенотип			
CD10(-)cytμ(-)	10	2	
CD10(-/+)-cytμ(-)	—	2	
CD10(-)cytμ(+)	3	—	0,407
острый недифференцированный лейкоз	1	—	
Перестройки гена <i>MLL</i>			
<i>MLL-AF4</i>	7	4	
<i>MLL-MLLT1</i>	1	—	
<i>MLL-MLLT3</i>	1	—	0,090
<i>MLL-MLLT10</i>	3	—	
<i>MLL-EPS15</i>	2	—	
Ответ на дексаметазон на 8-й день			
хороший	12	2	
плохой	2	2	0,197
Статус костного мозга на 15-й день			
M1	12	2	
M2	2	2	0,197
M3	—	—	
Клинико-гематологическая ремиссия на 36-й день			
есть	14	4	
нет	—	—	0,999
Число рецидивов	2	3	
Число пациентов в ППР	12	1	0,044



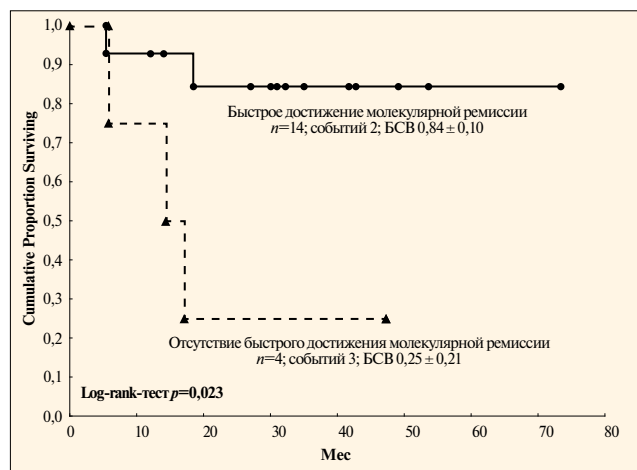
во 2-й —  $0,75 \pm 0,08$  ( $p=0,022$ ) (рис. 5). Медиана наблюдения составила 32 мес (диапазон 14–73 мес).

#### Обсуждение полученных результатов

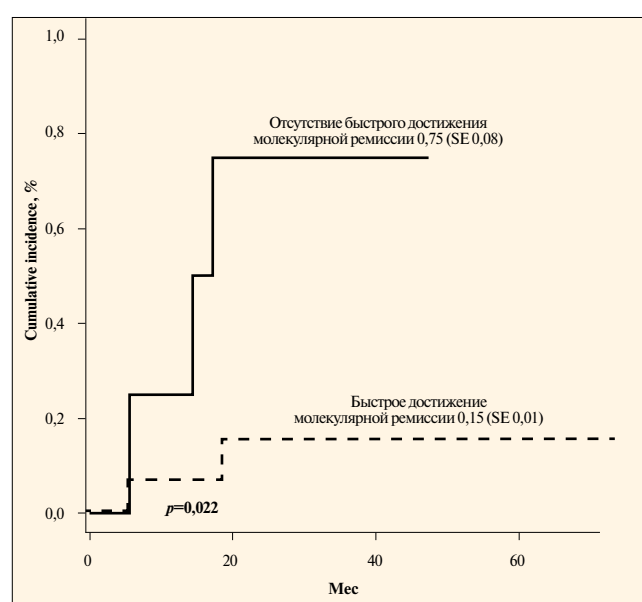
Ответ на терапию ОЛЛ уже в течение длительного времени используется как один из важнейших факторов прогноза и стратификации пациентов по группам риска. Исходя из времени оценки, ответ на терапию можно подразделить на ранний, который оценивается в ходе индукционной терапии, и поздний, оцениваемый на этапах консолидации/интенсификации.

В историческом плане первым стало выявление с прогностической целью уровня лейкоцитов в периферической крови на 8-й день инициальной терапии преднизолоном. Величина БСВ у пациентов, лечившихся по протоколу ALL-BFM 83 и имевших более 1000blastных клеток в 1 мл периферической крови (так называемый «плохой ответ» на терапию преднизолоном), составила 47%, что было достоверно ниже, чем у детей, имевших хороший ответ на преднизолон — 76% [16]. Начиная с этого времени данный критерий стал широко распространяться во всех

последующих протоколах, использующих в качестве базисного стероидного препарата преднизолон [1, 5]. Еще одним прогностическим фактором при терапии по протоколам группы BFM служит уровень МОБ, определяемый методом количественной ПЦР-РВ в геномной ДНК на момент окончания индукционной терапии (33-й день) и консолидации (78-й день). В этом случае производится определение специфических для каждого пациента перестроек генов тяжелых цепей иммуноглобулинов и Т-клеточных рецепторов. Пациентов, у которых МОБ не определяется в обеих ТН, стратифицируют в группу стандартного риска, пациентов, имеющих уровень МОБ на 78-й день терапии  $\geq 10^{-3}$  — в группу высокого риска, всех остальных — в группу промежуточного риска. В группе стандартного риска 10-летняя БСВ составляет



**Рис. 4.** Кривые БСВ в группе с быстрым достижением молекулярной ремиссии и группе без такого



**Рис. 5.** Кумулятивная вероятность развития рецидива в зависимости от скорости достижения молекулярной ремиссии. SE — стандартная ошибка

93%, в группе промежуточного риска — 74%, в группе высокого риска — 16% [17]. Несколько позднее была показана прогностическая ценность оценки уровня МОБ в костном мозге на 15-й день индукционной терапии, определяемого методом проточной цитометрии. У пациентов, получавших терапию по протоколу AIEOP-BFM-ALL 2000 и имевших более 10% бластных клеток на 15-й день индукционной терапии, вероятность развития рецидива достигала 47% по сравнению с 7,5% у имевших менее 0,1% бластных клеток и 17,5% — в промежуточной группе. При использовании многофакторного анализа было показано, что данный показатель является независимым фактором риска [18]. Схожие результаты были получены в американских исследовательских группах, где показатели ответа на 19-й [19] или 29-й дни индукционной терапии [20] позволяли разделить пациентов на группы риска по вероятности развития рецидивов ОЛЛ.

Поздний ответ на терапию, оцениваемый как методом ПЦР, так и методом проточной цитометрии, показал, что сохранение МОБ в этих ТН связано с высокой вероятностью развития рецидива независимо от уровня МОБ [20–22].

В то же время наличие ХТр, выявленное методом ОТ-ПЦР, или величина МОБ, определяемая в ходе ПЦР-РВ, используется в качестве фактора ответа на терапию гораздо реже. Одна из причин этого заключается в том, что химерные гены встречаются в среднем только у 40% пациентов с ОЛЛ [23]. Однако в случаях выявления ХТр они служат высокочувствительными ( $10^{-4}$ – $10^{-6}$ ) и стабильными маркерами [24]. Поэтому данный вариант мониторинга МОБ нашел свое применение в группах, выделенных именно по наличию конкретного химерного гена. Так, в зависимости от скорости снижения нормализованного уровня ХТр *BCR-ABL* взрослые пациенты с ОЛЛ с наличием транслокации *t(9;22)* (*q34;q11*) были разделены на 2 группы. В 1-ю группу

были отнесены пациенты, у которых происходило снижение нормализованного уровня *BCR-ABL* более чем в 100 раз от исходного в момент окончания индукционной терапии и более чем в 1000 раз после курса консолидации. Двухлетняя безрецидивная выживаемость в этой группе составила 38% по сравнению с 0% у остальных пациентов [25].

Еще один часто упоминаемый недостаток использования ХТр для мониторинга МОБ — это отсутствие прямой связи между экспрессией гена, т. е. уровнем ХТр, и количеством бластных клеток в костном мозге [23], что осложняет использование выявления ХТр для количественной оценки ответа на терапию. Однако проведенное сравнение результатов оценки МОБ методами проточной цитометрии и гнездной ОТ-ПЦР показало хорошую качественную сходимость результатов, составившую 94% [26].

### Заключение

Время достижения молекулярной ремиссии служит важным показателем ответа на терапию. Отсутствие быстрого достижения молекулярной ремиссии связано с более высокой вероятностью развития рецидива ОЛЛ.

*Авторы выражают глубокую благодарность всем врачам, проводившим лечение детей первого года жизни по протоколу MLL-Baby, в частности сотрудникам Областной детской клинической больницы №1 (Екатеринбург), Российской детской клинической больницы (Москва), Морозовской детской городской клинической больницы №1 (Москва), Республиканского научно-практического центра детской онкологии и гематологии (Минск), Областной детской клинической больницы (Нижний Новгород), Детской городской больницы №1 (Санкт-Петербург), Областной детской клинической больницы (Ростов-на-Дону), Областной детской клинической больницы (Ярославль), Московского областного онкологического диспансера (Балашиха).*

## Л и т е р а т у р а

1. Moericke A., Reiter A., Zimmermann M. et al. Risk-adjusted therapy of acute lymphoblastic leukemia can decrease treatment burden and improve survival: Treatment results of 2,169 unselected pediatric and adolescent patients enrolled in the trial ALL-BFM 95. *Blood* 2008;111(9):4477–89.
2. Moghrabi A., Levy D.E., Asselin B. et al. Results of the Dana-Farber Cancer Institute ALL Consortium Protocol 95-01 for children with acute lymphoblastic leukemia. *Blood* 2007;109(3):896–904.
3. Pui C.H., Campana D., Pei D. et al. Treating childhood acute lymphoblastic leukemia without cranial irradiation. *N Engl J Med* 2009;360(26):2730–41.
4. Silverman L., McLean T., Gelber R. et al. Intensified therapy for infants with acute lymphoblastic leukemia: results from the Dana Farber Cancer Institute Consortium. *Cancer* 1997;80:2285–95.
5. Pieters R., Schrappe M., De Lorenzo P. et al. A treatment protocol for infants younger than 1 year with acute lymphoblastic leukaemia (Interfant-99): an observational study and a multicentre randomised trial. *Lancet* 2007;370(9583): 240–50.
6. Фечина Л.Г. Новые подходы в лечении острых лейкемий у детей раннего возраста как альтернативы интенсивной программной химиотерапии в сочетании с трансплантацией гемопоэтических стволовых клеток. *Вестн Уральск мед науки* 2006;(2):38–42.
7. Fechina L., Shorikov E., Tsaur G. et al. Contribution of all-trans retinoic acid to improved early relapse-free outcome in infant acute lymphoblastic leukemia comparing to the chemotherapy alone. *Blood* 2008;110(11):832A, Abstr 2828.

8. ISCN. Guidelines for cancer cytogenetics. In: Mitelman F, eds. Supplement to an International System for Human Cytogenetic Nomenclature. Basel, 1991; p. 1–53.
9. Borkhardt A., Repp R., Haupt E. et al. Molecular analysis of MLL/AF4 recombination in infant acute lymphoblastic leukemia. *Leukemia* 1994;8(4): 549–53.
10. Pallisgaard N., Hokland P., Riishoj D. et al. Multiplex Reverse Transcription-Polymerase Chain Reaction for Simultaneous Screening of 29 Translocations and Chromosomal Aberrations in Acute Leukemia. *Blood* 1998;92(2):574–88.
11. Dongen van J., Macintyre E., Gabert J. et al. Standardized RT-PCR analysis of fusion gene transcripts from chromosome aberrations in acute leukemia for detection of minimal residual disease. *Leukemia* 1999;13(12):1901–18.
12. Gabert J., Beillard E., Velden van der V. et al. Standardization and quality control studies of ‘real-time’ quantitative reverse transcriptase polymerase chain reaction of fusion gene transcripts for residual disease detection in leukemia – A Europe Against Cancer Program. *Leukemia* 2003;17(12):2318–57.
13. Beillard E., Pallisgaard N., Velden van der V. et al. Evaluation of candidate control genes for diagnosis and residual disease detection in leukemic patients using ‘real-time’ quantitative reverse-transcriptase polymerase chain reaction (RQ-PCR) – A Europe Against Cancer Program. *Leukemia* 2003;17(1):1–13.
14. Jurcic J., Nimer S., Scheinberg D. et al. Prognostic significance of minimal residual disease detection and PML/RAR-a isoform type: long-term follow-up in acute promyelocytic leukemia. *Blood* 2001;98(9):2651–56.
15. Kaplan E.L., Meier P. Non-parametric estimation from incomplete observations. *J Am Statistic Assoc* 1958;53:457–481.
16. Riehm H., Reiter A., Schrappe M. et al. Corticosteroid-dependent reduction of leukocyte count in blood as a prognostic factor in acute lymphoblastic leukemia in childhood (therapy study ALL-BFM 83). *Klin Padiatr* 1987;199(3):151–60.
17. Flohr T., Schrauder A., Cazzaniga G. et al. Minimal residual disease-directed risk stratification using real-time quantitative PCR analysis of immunoglobulin and T-cell receptor gene rearrangements in the international multicenter trial AIEOP-BFM ALL 2000 for childhood acute lymphoblastic leukemia. *Leukemia* 2008;22(4):771–82.
18. Basso G., Veltroni M., Valsecchi M. Risk of relapse of childhood acute lymphoblastic leukemia is predicted by flow cytometric measurement of residual disease on day 15 bone marrow. *J Clin Oncol* 2009;27(31):5168–74.
19. Coustan-Smith E., Sancho J., Behm F. et al. Prognostic importance of measuring early clearance of leukemic cells by flow cytometry in childhood acute lymphoblastic leukemia. *Blood* 2002;100(1):52–8.
20. Borowitz M., Devidas M., Hunger S. et al. Clinical significance of minimal residual disease in childhood acute lymphoblastic leukemia and its relationship to other prognostic factors: a Children’s Oncology Group study. *Blood* 2008;111(12):5477–85.
21. Dworzak M., Froeschl G., Printz D. et al. Prognostic significance and modalities of flow cytometric minimal residual disease detection in childhood acute lymphoblastic leukemia. *Blood* 2002;99(6):1952–58.
22. Dongen van J., Seriu T., Panzer-Gruemayer R. et al. Prognostic value of minimal residual disease in acute lymphoblastic leukaemia in childhood. *Lancet* 1998;352:1731–8.
23. Velden van der V., Hochhaus A., Cazzaniga G. et al. Detection of minimal residual disease in hematologic malignancies by real-time quantitative PCR: principles, approaches, and laboratory aspects. *Leukemia* 2003;17(6):1013–34.
24. Szczepanski T. Why and how to quantify minimal residual disease in acute lymphoblastic leukemia? *Leukemia* 2003;21(4):622–6.
25. Pane F., Cimino G., Izzo D. et al. Significant reduction of the hybrid *BCR/ABL* transcripts after induction and consolidation therapy is a powerful predictor of treatment response in adult Philadelphia-positive acute lymphoblastic leukemia. *Leukemia* 2005;19(4):628–35.
26. Popov A., Tsaur G., Ivanova A. et al. Qualitative and quantitative concordance in MRD data, assessed by flow cytometry and RT-PCR of fusion gene transcripts in infants with MLL-rearranged ALL. *Hematologica* 2009; 93(Suppl. 2):31–2.